

РЕАЛИЗУЕМОСТЬ ОДНОВЕРШИННОГО ГРАФА С ВРАЩЕНИЯМИ НА 2-МЕРНОМ ТОРЕ

TIM BEREZIN

ABSTRACT. We are interested in finding combinatorial criteria for embedding graphs into torus and using them in the embedding check algorithm. It is a well-known fact that any connected graph can be reduced to a one-vertex graph with loops and is homotopy equivalent to such a graph. If a connected graph has intersection of some edges, then some loops of one-vertex graph will also intersect. Therefore the problem of embedding graphs in some surface is equivalent to the question of embedding one-vertex graph in given surface. This paper considers a graph with rotations or rotation system called hieroglyph. The equivalence of four conditions is proved: (1) embedding hieroglyph in the torus; (2) the absence of forbidden subgraphs in a hieroglyph; (3) some condition for the graph of loops; (4) the existence of a reduction of hieroglyph to one of the list of hieroglyphs. We also prove the existence of an algorithm with complexity $\mathcal{O}(n)$ that recognizes embedding hieroglyph in the torus.

ВВЕДЕНИЕ

Пусть G — граф с одной вершиной и конечным числом n петель.

Иероглифом назовём граф G с указанием для его единственной вершины ориентированного циклического порядка выходящих из нее концов петель. Другое название — одновершинный граф с системой вращения или одновершинный граф с вращениями.

Определение 1. Иероглиф называется *реализуемым* на торе или *вложимым* в тор, если его петли можно изобразить без самопересечений на торе так, чтобы при обходе по тору вокруг вершины выходящие из нее отрезки проходились бы в соответствии с указанным циклическим порядком.

Об обобщениях на графы с более чем одной вершиной и произвольные поверхности см. [1, 2].

Алфавитом будем называть произвольное конечное множество, а его элементы назовём *буквами*.

Обозначим петли иероглифа буквами алфавита в порядке перечисления выходящих из вершины концов петель при обходе вокруг вершины либо по часовой стрелке, либо против. В таком случае иероглиф запишется как конечная последовательность букв или *слово* длины $2n$ из n букв, в котором каждая буква встречается дважды, с точностью до переименования букв и циклической перестановки.

Договоримся далее сокращать «иероглиф, соответствующий слову x » до «иероглиф x ». Иероглиф без петель или *пустой иероглиф* обозначается $()$.

Графом петель иероглифа называется граф, вершинами которого являются петли иероглифа. Две вершины графа петель соединены ребром, если соответствующие две петли образуют иероглиф $(abab)$, т. е. перекрещиваются.

Редукция иероглифа — композиция некоторого числа следующих операций:

(α) Удаление некоторой изолированной петли, т. е. такой петли, которая в циклическом порядке задается двумя подряд идущими буквами $(aa \dots)$;

(β) Замена двух 'параллельных' петель a и b , т. е. петель, соответствующие которым буквы в циклическом порядке находятся на соседних местах и не чередуются $(ab \dots ba \dots)$, на одну.

Напомним, что граф называется *k -дольным*, если существует разбиение его множества вершин на k множеств (необязательно непустых), внутри которых нет ребер. Эти множества называются *долями*. Если любые две вершины из разных долей соединены ребром, то граф называется *полным k -дольным*.

Основным результатом данной работы является следующее утверждение.

Теорема 1. Для иероглифа эквивалентны следующие условия:

- (A) Иероглиф реализуем на торе.
- (B) Иероглиф не содержит ни одного из иероглифов: $(abababcdcd)$, $(abcdababcd)$, $(abacdcbbd)$, $(abscadbdc)$.
- (C) Граф петель иероглифа является объединением изолированных вершин и полного дву- или трехдольного графа.
- (D) Иероглиф редуцируется до одного из иероглифов: $()$, $(abab)$, $(abcabc)$.

Доказательство теоремы будем проводить по схеме: $(A) \Rightarrow (B) \Rightarrow (C) \Rightarrow (D) \Rightarrow (A)$.

В [3] А. Б. Скопенковым, опираясь на результаты [4], были сформулированы критерии теоремы. Доказательство этого результата может было и известно автору, но нигде ранее не опубликовано. Для критерия (C) в первоначальной формулировке был найден контрпример и критерий уточнен в работе.

1. ПРЕДВАРИТЕЛЬНЫЕ СВЕДЕНИЯ И РЕЗУЛЬТАТЫ

Рассмотрим иероглиф из n букв. Возьмем двумерный диск и ориентируем его границу. Отметим на границе непересекающиеся отрезки, отвечающие буквам заданного иероглифа, в порядке расположения в нём букв. Для каждой буквы соединим (не обязательно в плоскости) соответствующие ей два отрезка ленточкой-прямоугольником так, чтобы разные ленточки не пересекались. Полученное таким способом объединение диска и ленточек будем называть *диск с n ленточками*, соответствующему данному иероглифу.

Иероглиф можно задавать и изображать как соответствующий диск с ленточками, см. рис. 1.

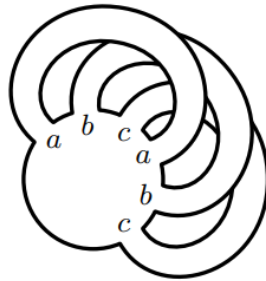


Рис. 1. Диск с тремя ленточками или иероглиф $(abcabc)$

Далее по тексту под понятиями «иероглиф» и «диск с ленточками», а также «иероглиф с n петлями» и «диск с n ленточками» будем подразумевать одно и то же.

Связную часть множества тех точек диска с ленточками, которые его ограничивают, будем называть *краевой окружностью* диска с ленточками. Число краевых окружностей можно подсчитать как контуры обхода вдоль границы диска с ленточками. Например, у иероглифа на рис. 1 две краевые окружности.

Реализуемость диска с ленточками на торе означает, что диск с ленточками можно вырезать из тора, разрезая вдоль краевых окружностей.

Везде далее поверхность предполагается размерности 2 и ориентируемой, если не оговорено иное.

Пусть на поверхности рода g нарисован без самопересечений связный граф с V вершинами и E ребрами. Обозначим через F число граней. Тогда справедлива **формула Эйлера**: $V - E + F \geq 2 - 2g$ (см. [5, Theorem 3.3]).

Напомним, что *ручкой* называется поверхность, которая остается после вырезания малого открытого двумерного диска из тора.

Лемма 1. Если иероглиф с n петлями реализуем на сфере с g ручками, тогда $2g \geq n + 1 - F$, где F — количество краевых окружностей иероглифа.

Доказательство. Рассмотрим иероглиф с n петлями. Для иероглифа всегда $V = 1$ и $E = n$. По условию мы можем расположить иероглиф на сфере с g ручками так, что петли не будут пересекаться. Таким образом, иероглиф будет разбивать сферу с g ручками на связные компоненты (грани), границами которых являются краевые окружности иероглифа. Очевидно, что число таких граней равно числу краевых окружностей F . Тогда прямой подстановкой в формулу Эйлера получаем $2g \geq n + 1 - F$. \square

2. ДОКАЗАТЕЛЬСТВО ТЕОРЕМЫ 1 (ОСНОВНОЙ РЕЗУЛЬТАТ)

Иероглифы из условия (B) теоремы 1 ($ababcdcd$), ($abcdabcd$), ($abacdcbd$), ($abcadbdc$) изображены на рис. 2

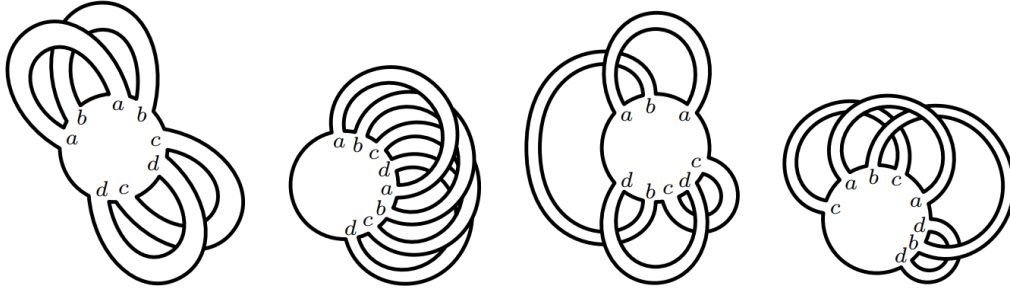


Рис. 2. Иероглифы ($ababcdcd$), ($abcdabcd$), ($abacdcbd$), ($abcadbdc$)

Утверждение 1 ($A \Rightarrow B$). Если иероглиф реализуем на торе, тогда он не содержит ни одного из иероглифов: ($ababcdcd$), ($abcdabcd$), ($abacdcbd$), ($abcadbdc$).

Доказательство. Предположим напротив, что иероглиф содержит один из иероглифов с рис. 2 и реализуем на торе. Поэтому один из иероглифов с рис. 2 также вложим в тор. Тогда согласно лемме 1 для этого иероглифа справедливо неравенство $n + 1 - F \leq 2$. Для каждого иероглифа с рис. 2 число петель $n = 4$ и число краевых окружностей $F = 1$. Получаем $n + 1 - F = 4 + 1 - 1 = 4 \leq 2$. Противоречие. \square

Утверждение 2 ($B \Rightarrow C$). Если иероглиф не содержит ни одного из иероглифов: ($ababcdcd$), ($abcdabcd$), ($abacdcbd$), ($abcadbdc$), тогда граф петель иероглифа является объединением изолированных вершин и полного дву- или трехдольного графа.

Доказательство. Граф петель иероглифа H будем обозначать через H^* . Словосочетание «граф петель» будем сокращать до «граф».

Обозначим иероглифы ($ababcdcd$), ($abcdabcd$), ($abacdcbd$), ($abcadbdc$) соответственно через: H_1 , H_2 , H_3 , H_4 и построим графы H_1^* , H_2^* , H_3^* , H_4^* . См. рис. 3.

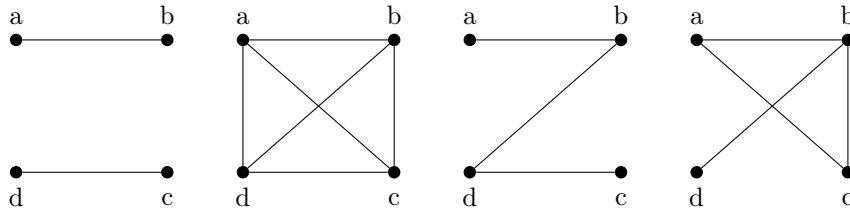


Рис. 3. Графы (петель) иероглифов ($ababcdcd$), ($abcdabcd$), ($abacdcbd$), ($abcadbdc$) (слева направо)

Переформулируем утверждение 2 следующим образом: Если граф иероглифа не содержит ни одного из графов с рис. 3, тогда граф иероглифа является объединением изолированных вершин и полного дву- или трехдольного графа.

Заметим (см. рис. 3), что с точностью до обозначения вершин $H_1^* \subset H_2^*$, $H_1^* \subset H_3^*$. Поэтому, если граф H^* не содержит H_1^* , то H^* не содержит также H_2^* , H_3^* и наоборот. Таким образом, условие «граф H^* не содержит ни одного из H_1^* , H_2^* , H_3^* , H_4^* » равносильно «граф H^* не содержит ни одного из H_1^* , H_4^* ».

Пусть $H^* = (V, E)$ — граф с произвольным множеством V вершин и набором E ребер. Пусть $V_0 \subset V$ — произвольное множество (непустое) изолированных вершин графа H^* .

Напомним, что полный двудольный граф с мощностями долей равными p, q обозначается через $K_{p,q}$, а полный трехдольный граф с мощностями долей p, q, r через $K_{p,q,r}$.

Будем доказывать индукцией по числу n ребер графа H^* следующее (более сильное) утверждение: *если H^* с n ребрами не содержит ни одного из H_1^*, H_4^* , тогда H^* является либо $V_0 \cup K_{1,n}$, либо $V_0 \cup K_{1,1,1}$* . Графы $K_{1,n}$ и $K_{1,1,1}$ могут быть пустыми.

База индукции: $n = 0$. Тогда очевидно, H^* — это только V_0 . Утверждение справедливо.

Индукционное предположение. Пусть для графа с n ребрами утверждение верно. Покажем, что утверждение останется справедливым для графа с $n + 1$ ребрами.

Рассмотрим граф H^* с $n + 1$ ребрами и удалим из него любое ребро e . Концевые вершины ребра e при этом трогать не будем. Получим граф $H' = H^* - e$, который по предположению индукции не содержит ни одного из H_1^*, H_4^* и является либо $V_0 \cup K_{1,n}$, либо $V_0 \cup K_{1,1,1}$.

Добавим куда-нибудь в H' одно ребро e' . Точнее, соединим ребром e' любые две вершины в H' . Получим граф $H'' = V_0 \cup \{e'\}$ с $k = n + 1$ ребрами и такой, что:

1) Если H' содержит только V_0 , тогда $H'' = V_0 \cup \{e'\} = V_0 \cup K_{1,k}$ с $k = n + 1 = 1$ ребром.

2) Если H' содержит V_0 и ровно $n = 1$ ребро, т. е. является графом $K_{1,1}$, тогда в зависимости от того, какие вершины соединяются новым ребром e' , получим либо $H'' = V_0 \cup K_{1,1} \cup \{e'\} = V_0 \cup K_{1,k}$ с $k = n + 1 = 2$ ребрами, либо $H'' = H_1^*$.

3) Если H' содержит V_0 и $n > 1$ ребер, тогда H' — это либо $V_0 \cup K_{1,1}$, либо $V_0 \cup K_{1,1,1}$, либо H_1^* , либо любой другой граф. Поэтому, в любом случае, после добавления одного ребра в H' , получим либо $H'' = V_0 \cup K_{1,1,1}$, либо $H'' \subset H_1^*$, либо $H'' \subset H_4^*$.

Так как в H' добавлялось произвольное ребро, то среди рассмотренных графов H'' встречается и граф H^* . Однако, H^* по предположению не содержит ни одного из H_1^*, H_4^* . Поэтому H^* может быть только либо $V_0 \cup K_{1,n+1}$, либо $V_0 \cup K_{1,1,1}$.

Индукционный переход доказан. Следовательно утверждение справедливо для графа с любым n . \square

Утверждение 3 ($C \Rightarrow D$). *Если граф петель иероглифа является объединением изолированных вершин и полного дву- или трехдольного графа, тогда иероглиф редуцируется до одного из иероглифов: $()$, $(abab)$, $(abcabc)$.*

Доказательство. Пусть H^* — граф (петель) иероглифа H . Случай, когда H^* — множество только изолированных вершин, тривиален. В этом случае все петли иероглифа H изолированы. Такой иероглиф, очевидно, редуцируется до иероглифа $()$.

Рассмотрим случаи, когда H^* — объединение множества изолированных вершин (необязательно непустого) и полного дву- или трехдольного графа. Ввиду того, что любой изолированной вершине в H^* соответствует изолированная петля в H , удаляемая в результате применения операции редукции (α) , достаточно рассмотреть два варианта, когда: H^* — полный двудольный граф; H^* — полный трехдольный граф.

Пусть H^* — полный двудольный граф с числом вершин $n > 2$. Покажем, что соответствующий этому графу иероглиф с n петлями редуцируется до $(abab)$. Для этого построим граф H^* , начиная с минимального графа $K_{1,1}$, выполняя следующие действия:

Шаг 1. Добавим в любую из долей $K_{1,1}$ одну вершину. Пусть до добавления вершины, соответствующие вершинам $K_{1,1}$ петли в H именуется буквами x и y . Соответственно иероглиф записывается через $(xyxy)$. Предположим, что добавленной вершине соответствует буква z в H . После добавления в $K_{1,1}$ получится либо граф $K_{1,2}$, либо $K_{2,1}$. В случае $K_{1,2}$ соответствующими иероглифами будут: $(xyzxzy)$, $(zxzyxy)$. В случае $K_{2,1}$: $(xzyzxy)$, $(xyxzyz)$.

Шаг 2. Выполним циклическую перестановку иероглифов $(zxzyxy)$, $(xyxzyz)$. Тогда иероглифы преобразуются следующим образом:

$$(zxzyxy) \rightsquigarrow (yzxzyx);$$

$$(xyxzyz) \rightsquigarrow (zxyxzy).$$

Видно, что полученные в результате шагов 1, 2 иероглифы $(xyzxzy)$, $(xzyzxy)$, $(yzxzyx)$, $(zxyxzy)$ совпадают с точностью до переименования букв. Заметим, что эти иероглифы возможно редуцировать, применяя операцию редукции (β) , до $(xyxy)$, соответствующему $(abab)$. Однако делать этого не будем.

Будем поступать так, как описано в шагах 1 и 2, пока не получим граф H^* , которому будет соответствовать иероглиф H с n петлями. Очевидно, что сколько бы вершин не добавилось к любой из долей $K_{1,1}$, то к каждой соответствующей (добавленной вершине) петле в H будет применима операция редукции (β) . Следовательно, иероглиф H преобразуется в $(abab)$.

Аналогичным способом доказывается случай, когда H^* — полный трехдольный граф. В этом случае построение начинается с минимального графа $K_{1,1,1}$. В результате шагов 1, 2 будет получаться иероглифы, которые редуцируются до иероглифа, соответствующему $(abcabc)$. \square

Утверждение 4 ($D \Rightarrow A$). *Если иероглиф редуцируется до одного из иероглифов: $()$, $(abab)$, $(abcabc)$, тогда иероглиф реализуем на торе.*

Доказательство. Пусть иероглиф редуцируется до одного из иероглифов: $()$, $(abab)$, $(abcabc)$. Достаточно показать, что эти иероглифы вложимы в тор. Покажем, что это действительно так, расположив $()$, $(abab)$, $(abcabc)$ на «развѐртке» тора без пересечений петель. См. рис. 4.

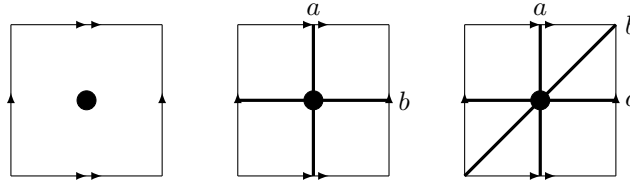


Рис. 4. Расположение иероглифов $()$, $(abab)$, $(abcabc)$ на «развѐртке» тора

\square

Импlications $(A) \Rightarrow (B)$, $(B) \Rightarrow (C)$, $(C) \Rightarrow (D)$, $(D) \Rightarrow (A)$ доказаны. Следовательно, теорема 1 полностью доказана.

3. О СЛОЖНОСТИ АЛГОРИТМА РАСПОЗНАВАНИЯ РЕАЛИЗУЕМОСТИ ИЕРОГЛИФА НА ТОРЕ

Теорема 2. *Пусть H — иероглиф с конечным числом n петель. Существует алгоритм распознавания реализуемости H на торе, сложность которого $O(n)$.*

Доказательство. Достаточно доказать, что условие (D) теоремы 1 проверяется за линейное время.

Представим иероглиф H в виде последовательности x_1, \dots, x_m длиной $m = 2n$ символов произвольного алфавита, в которой каждый символ встречается ровно два раза. Пусть H заканчивается символом a , и предположим, что H не редуцируется.

Этап 1. Рассмотрим возможность обработки H слева направо за один проход. Для этого будем поочередно добавлять к концу H символы x_i , начиная с шага $i = 1$ (то есть с первого символа H).

Добавив к H символ $x_i \in H$, получим новую последовательность \tilde{H} вида $(\dots ax_i)$. При этом возможны три случая:

Случай 1. $x_i = a$, тогда к \tilde{H} применим операцию редукции (α) . При этом удалится ровно одна пара символов aa . Получим новую последовательность длиной $m - 1$, к которой нельзя применить ни одну из операций редукции, так как не образовалось новых пар символов.

Случай 2. $x_i \neq a$ и существует пара $x_i a \in H$, тогда выполним операцию редукции (β) , сократив на a . При этом получим новую последовательность длиной $m - 1$, которую также нельзя редуцировать потому, что:

1) Никакие новые пары одинаковых символов в \tilde{H} не могли образоваться. Ибо, если два символа c , такие, что $c \neq a$ и $c \neq x_i$ не были расположены рядом в H , то они не будут расположены рядом и в \tilde{H} . Символы a были сокращены. Символы x_i в \tilde{H} не могут быть расположены рядом, иначе бы H заканчивалась на $x_i a a$ и H можно было бы редуцировать, что невозможно по предположению.

2) Никакая другая пара cd для операции (β) не могла появиться, иначе cd и dc существовали бы первоначально в H .

3) Новая пара символов для операции (β) могла бы получиться только с участием x_i . Но это значит, что в H нашлись бы пары $x_i c$ и $c x_i$. Тогда получается, что в H существовали ли бы ac и ca . Поэтому такое тоже невозможно.

Случай 3. $x_i \neq a$ и не существует пара $x_i a \in H$. Тогда к \tilde{H} нельзя применить ни одну из операций редукции. Длина \tilde{H} в этом случае будет равна $m + 1$.

Рассмотрены все случаи. Как видно, на каждом i -м шаге может быть выполнена не более чем одна операция редукции. Длина \tilde{H} при этом, либо уменьшается ровно на единицу, либо увеличивается на единицу. Поэтому, пройдя один раз по каждому элементу последовательности $\{x_{m-1}\}$, т. е. выполнив шаги от $i = 1$ до $2n - 1$, получится некоторая последовательность \tilde{H} конечной длины, может быть пустая. Очевидно, что для этого потребуется $2n - 1$ шагов. Таким образом, сложность первого этапа равна $\mathcal{O}(n)$.

Этап 2. После завершения этапа 1 выполним проверку, равен ли соответствующий последовательности \tilde{H} иероглиф одному из иероглифов $()$, $(xyxy)$, $(xyzxyz)$. Это можно сделать за константное время.

Итак, сложность этапа 1 равна $\mathcal{O}(n)$ и сложность этапа 2 равна $\mathcal{O}(1)$. Поэтому общая сложность проверки редукции иероглифа с числом n петель до одного из иероглифов $()$, $(abab)$, $(abcabc)$ равна $\mathcal{O}(n)$. \square

СПИСОК ЛИТЕРАТУРЫ

- [1] Mohar B., Thomassen C. Graphs on Surfaces. Johns Hopkins series in the mathematical sciences. Johns Hopkins University Press, 2001.
- [2] Ellis-Monaghan J., Moffatt I. Embedded Graphs. In: Graphs on Surfaces. SpringerBriefs in Mathematics. Springer, New York, NY. 2013. P. 1-22. https://doi.org/10.1007/978-1-4614-6971-1_1
- [3] Скопенков А. Б. Алгебраическая топология с геометрической точки зрения. М: МЦНМО, 2020. 302 с. Обновляемая версия доступна на <https://www.mcsme.ru/circles/oim/obstruct.pdf>
- [4] Culler M. Using surfaces to solve equations in free groups. Topology. 1981. 20. P. 133-145. Available at <https://core.ac.uk/download/pdf/81186523.pdf> (accessed Juny 11, 2021)
- [5] Thomassen C. Embeddings of graphs. Discret. Math. 124(1-3). 1994. P. 217-228. Available at [https://doi.org/10.1016/0012-365X\(92\)00062-V](https://doi.org/10.1016/0012-365X(92)00062-V)